

บทที่ 5

ผลการทดลองและการอภิปรายผล

ในบทนี้จะนำเสนอผลการทดลองในส่วนของการเตรียมวัสดุพสมแบบ 0-3 ในระบบ PZT-PC ผลการตรวจสอบเฟส พฤติกรรมโครงสร้างผลึก สมบัติทางกายภาพ ได้แก่ ความหนาแน่น โครงสร้างทางจุลภาค สมบัติทางด้านไฟฟ้าได้แก่ ค่าสภาพยอมสัมพัทธ์ ค่าตัวประกอนการสูญเสีย ทางไดโอดิเลกทริก ค่าสัมประสิทธิ์พิโซอิเลกทริก และ ค่าสัมประสิทธิ์คุณภาพไฟฟ้าเชิงกล ท้ายสุดจะนำเสนอในส่วนของสมบัติเชิงกล ได้แก่ กำลังอัด พร้อมทั้งอภิปรายและวิเคราะห์ผลตามลำดับดังนี้

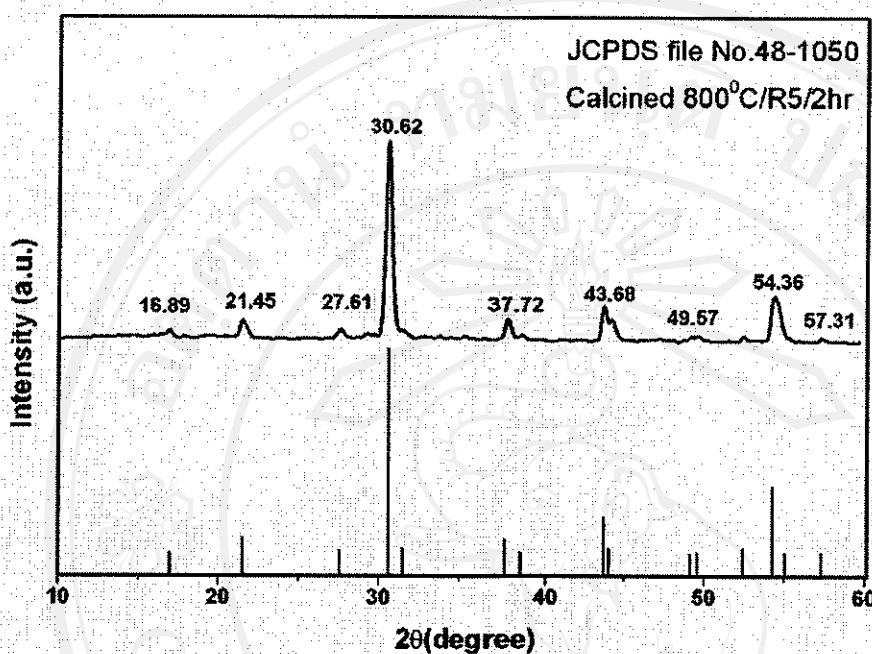
5.1 ผลการตรวจสอบเฟส ด้วยเทคนิคการเลือยabenของรังสีเอกซ์ (XRD) ของวัสดุพสมแบบ 0-3

ในระบบ PZT-PC

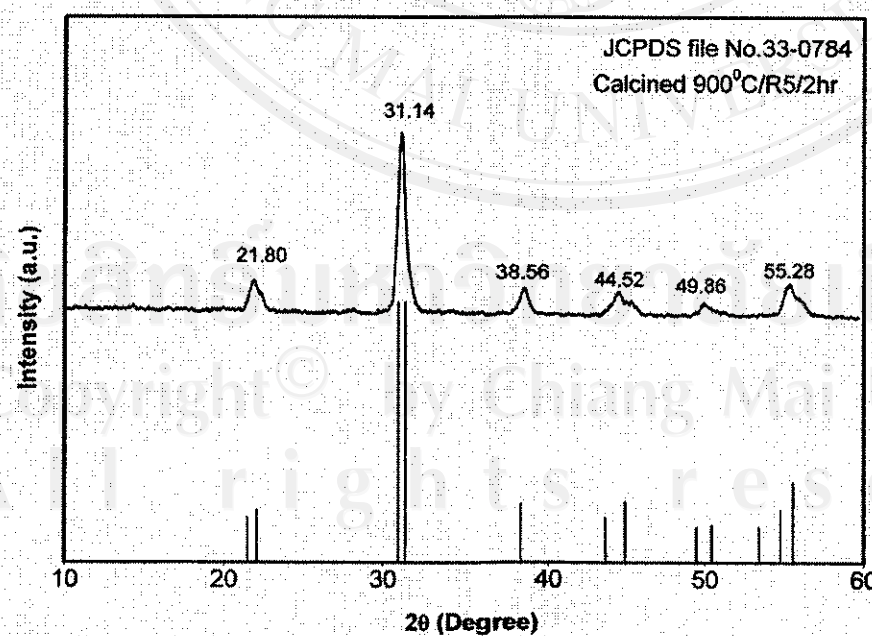
5.1.1. โครงสร้างผลึกผงเดตเซอร์โคเนตไทเทเนต (PZT)

จากการเตรียมผง PZT แบบ two step ซึ่งมีขั้นตอนการเตรียมสองขั้นตอนด้วยกัน โดยจะเริ่มจากการเตรียมผง PZ ก่อนซึ่งจะทำการเผาแคลไนซ์ที่อุณหภูมิ 800°C ผลการตรวจสอบเฟสของผง PZ ที่ได้ด้วยเทคนิคการเลือยabenของรังสีเอกซ์ (XRD) แสดงดังรูป 5.1 ซึ่งจะเห็นว่า ผง PZ ที่เตรียมได้มีรูปแบบการเลือยabenของรังสีเอกซ์ที่สอดคล้องกับข้อมูลของสาร PZ สูตร PbZrO_3 ในแฟ้มข้อมูล JCPDS หมายเลข 48-1050 และเมื่อพิจารณาพีคของรังสีเอกซ์ที่ได้จะพบว่ามีพีคแบลกปลอมที่ตำแหน่งบุน 2 θ ประมาณ 29.25° ซึ่งน่าจะเป็น PbO และมีพีคที่มีความเข้มสูงที่สุดอยู่ที่ตำแหน่งค่า 2θ เป็น 30.62° 54.36° 43.68° 37.72° และ 21.45° ตามลำดับ เมื่อได้ทำการวิเคราะห์เฟสของ PZ แล้วขั้นตอนต่อมา คือ จะเป็นการเตรียมผง PZT โดยผสมผง PZ กับ PbO และ TiO_2 ด้วยการ ball milling จากนั้นทำการเผาแคลไนซ์ที่อุณหภูมิ 900°C และทำการตรวจสอบผง PZT ที่ผ่านการแคลไนซ์ด้วยเทคนิคการเลือยabenของรังสีเอกซ์ พบว่าได้ผลดังรูป 5.2 ซึ่งจะพบว่าผงที่เตรียมได้มีรูปแบบการเลือยabenของรังสีเอกซ์ที่สอดคล้องกับข้อมูลของสาร PZT สูตร $\text{Pb}(\text{Zr}_{0.52}\text{Ti}_{0.48})\text{O}_3$ ในแฟ้มข้อมูล JCPDS หมายเลข 33-0784 ซึ่งมีโครงสร้างผลึกเป็นเตต拉gonอล (tetragonal) และมีพีคที่มีความเข้มที่สูงที่สุดอยู่ที่ตำแหน่งค่า 2θ เป็น 31.14° 21.80° 55.28° 38.56° และ 44.52° ตามลำดับ มี lattice parameter a เท่ากับ b เท่ากับ 4.036 และ lattice parameter c เท่ากับ 4.146 ซึ่งมีความเป็นเตตราゴโนลิติก (tetragonality : c/a) เท่ากับ 1.027 และไม่พบเฟสแบลกปลอมที่พบในผง PZ และหลังจากผ่านกระบวนการการซินเตอร์ด้วยอุณหภูมิ

1200° C เป็นเวลา 2 ชั่วโมง โดยใช้อัตราการบีบลงของอุณหภูมิเท่ากับ 5° C ต่อนาทีก็ไม่พบเฟส
แปรกันประกอบกัน



รูป 5.1 การเลี้ยวเบนของรังสีเอกซ์ของ PZ เทียบกับ JCPDS file No.48-1050

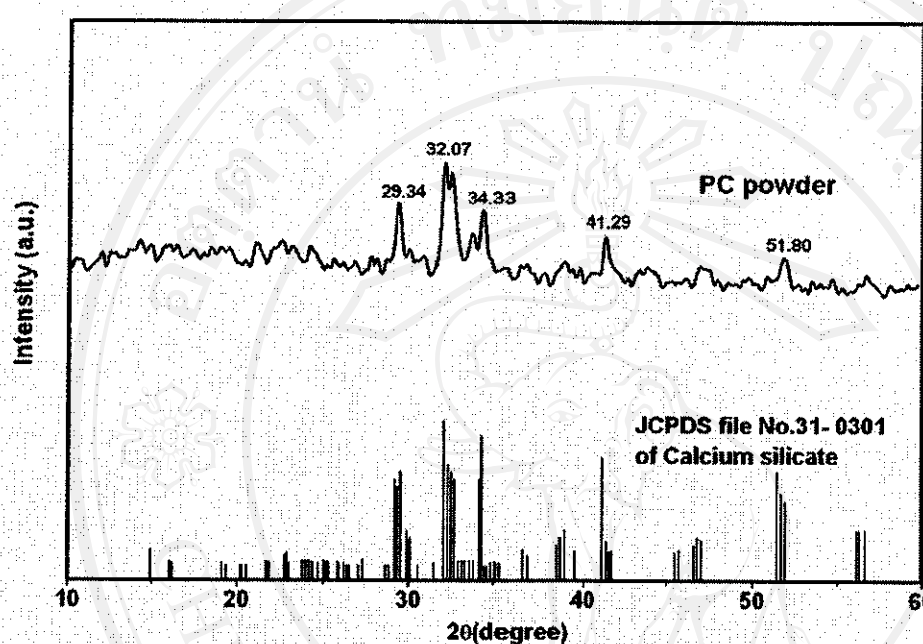


รูป 5.2 การเลี้ยวเบนของรังสีเอกซ์ของ PZT เทียบกับ JCPDS file No.33-0784

5.1.2. โครงสร้างผลึกของผงปูนซีเมนต์ปอร์ทแลนด์ (PC)

ผลการตรวจสอบไฟฟ้าของผง PC ด้วยเทคนิคการเลือยabeenของรังสีเอกซ์ (XRD) แสดงดัง

รูป 5.3



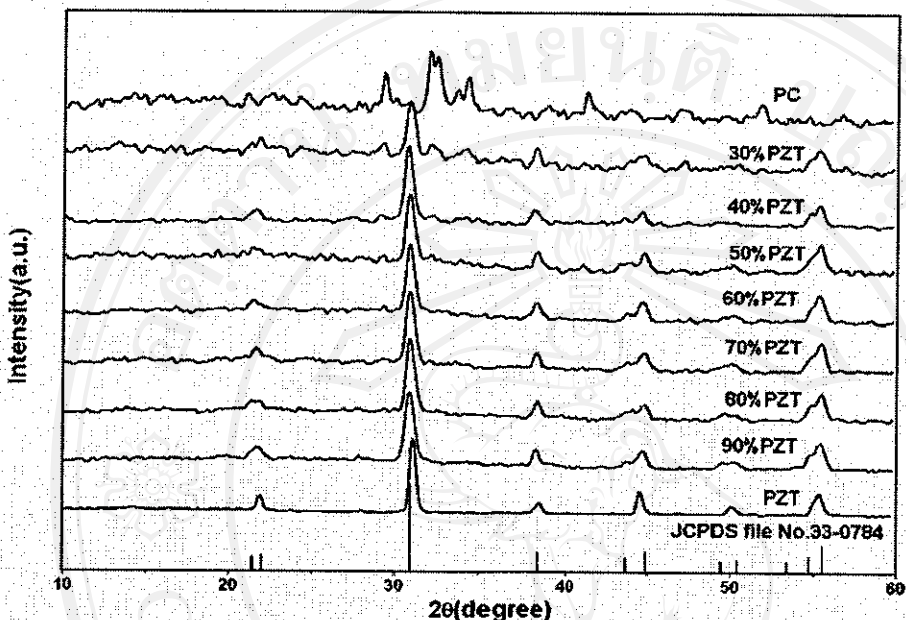
รูป 5.3 แบบการเดี่ยวเบนของรังสีเอกซ์ของ ผงปูนซีเมนต์

ซึ่งจะเห็นว่าผงปูน PC ที่ได้มีรูปแบบการเดี่ยวเบนของรังสีเอกซ์ที่สอดคล้องกับข้อมูลของสาร แคลเซียมซิลิกะ (Calcium silicate) สูตร Ca_3SiO_5 ในแฟ้มข้อมูล JCPDS หมายเลข 31-0301 ซึ่งมีโครงสร้างเป็น Anorthic และมีพีกที่มีความเข้มสูงที่สุดของผง PC อยู่ที่ตัวแหน่งค่า 2θ เป็น 32.07 29.34 34.33 41.29 และ 51.80 ตามลำดับ มี lattice parameter a เท่ากับ 14.08 b เท่ากับ 14.21 และ lattice parameter c เท่ากับ 25.1 และพบว่ามีความเป็น amorphous สูง

5.1.3. โครงสร้างผลึกวัสดุผสมและเชอร์โภเนต-ปูนซีเมนต์ปอร์ทแลนด์ (PZT-PC)

จากการเตรียมวัสดุผสมด้วยการอัดขึ้นรูปและนำไปผ่านกระบวนการการเกิดไชเดรชั่นของปูนซีเมนต์โดยการนำไปเผาในเครื่องควบคุมอุณหภูมิแบบอัตโนมัติที่มีความชื้นเกิน 100 เปรอร์เซ็นต์เป็นเวลา 3 วัน เพื่อช่วยในการแข็งตัวของวัสดุผสมแล้ว จากนั้นนำวัสดุผสมในอัตราส่วนต่างๆมาอบ

เพื่อໄລ້ຄວາມชື່ນແລະນໍານານດໃຫລະເອີດກ່ອນຈະນໍາມາຕຽບສອນເພື່ອສອນພງວັດຄຸມສມທີໄດ້ດ້ວຍ
ເທກນິກເລີ້ມວະນຂອງຮັງສີເອກຊ່ົ້ວ່າມີຜົນກັບປຸນຊື່ເມັນດີປ່ອຕແລນດ (PC)



ຮູບ 5.4 ການເລີ້ມວະນຂອງຮັງສີເອກຊ່ົ້ວ່າມີຜົນກັບປຸນຊື່ເມັນດີປ່ອຕແລນດ (PC)

ຈາກການເລີ້ມວະນຂອງຮັງສີເອກຊ່ົ້ວ່າມີຜົນກັບປຸນຊື່ເມັນດີປ່ອຕແລນດ ດັ່ງນີ້ ພວກເຮົາມີຄວາມຮັບຮັກກັບກຳນົດກຳນົດຂອງ PZT ກັບປຸນຊື່ເມັນດີປ່ອຕແລນດ ດັ່ງນີ້ ພວກເຮົາມີຄວາມຮັບຮັກກັບກຳນົດກຳນົດຂອງ PZT ແລະປຸນຊື່ເມັນດີປ່ອຕແລນດ ທີ່ຈະສັງເກດເຖິງ peak ຂອງ PZT ເດັ່ນຫຼັກກຳນົດກຳນົດກຳນົດຂອງ PC ໂດຍເລີກພາຍໃນກຳນົດກຳນົດຂອງ PZT ສູງໆ ທັງນີ້ແນ່ງມາຈາກໂຄຮງສ້າງທີ່ເປັນພລິກຂອງ PZT ຈະໂດຍເດັ່ນກຳນົດກຳນົດກຳນົດຂອງ PC ທີ່ເປັນອັນດຸກ (amorphous) ຂອງປຸນຊື່ເມັນດີປ່ອຕແລນດ

5.2 ຜົນກັບປຸນຊື່ເມັນດີປ່ອຕແລນດ

5.2.1 ການຕຽບສອນສົມນັດທິການກາຍກາພຂອງເຊຣານິກ PZT

ຈາກການກະບວນການຕຽບສອນສົມນັດທິການກາຍກາພຂອງເຊຣານິກ PZT ແລະ ພົນກັບປຸນຊື່ເມັນດີປ່ອຕແລນດ ໄດ້ມີການ
ຕຽບສອນສົມນັດທິການກາຍກາພຂອງເຊຣານິກ PZT ແລະ ພົນກັບປຸນຊື່ເມັນດີປ່ອຕແລນດ ແລ້ວ ເປົ້າໄດ້ການ

ตาราง 5.1 สมบัติทางกายภาพของเซรามิก PZT

อุณหภูมิซินเทอร์ (°C)	ความหนาแน่น	ความหนาแน่น สัมพัทธ์ (%)	ร้อยละการหดตัว เชิงเส้น	ร้อยละการหดตัว เชิงปริมาตร	ร้อยละของน้ำหนักที่สูญเสีย
1200	7.81	97.55	15.76±0.35	29.04±0.60	0.66±0.06

จากตาราง 4.1 พิจารณาความหนาแน่นของเซรามิก PZT ที่หาได้มีค่าเท่ากับ 7.81 และเมื่อเปรียบเทียบกับค่าทางทฤษฎีซึ่งหาได้จากสมการ 4.1

$$\rho_{theory} = \frac{Mn}{V_{abc} N_a} \quad (5.1)$$

M	คือ	มวลโมเลกุลของสารที่เป็นผลึก
n	คือ	จำนวนโมเลกุลในหน่วยเซลล์
V _{abc}	คือ	ปริมาตรหน่วยเซลล์ประกอบด้วยด้าน a, b และ c
N _a	คือ	เลขโว加โด (Avogadro constant) มีค่าเท่ากับ $6.022 \times 10^{23} \text{ mol}^{-1}$

เมื่อแทนค่ามวลโมเลกุลของ PZT ซึ่งมีค่าเท่ากับ 325.6 กรัม และโครงสร้างผลึกของ PZT ซึ่งเป็นเตระโgonอลิติกปริมาตร 6.749×10^{-23} ลูกบาศก์เซนติเมตรและมีโมเลกุลเดี่ยวในหน่วยเซลล์ เมื่อแทนค่าในสมการ 5.1 จะทำให้ได้ความหนาแน่นตามทฤษฎีของ PZT คือ 8.011 กรัมต่อ ลูกบาศก์เซนติเมตร

จะเห็นว่าความหนาแน่นของ PZT ที่เตรียมได้มีค่าน้อยกว่าความหนาแน่นตามทฤษฎี ซึ่งเกิดขึ้นเนื่องจากความไม่บริสุทธิ์ของสารตัวอย่าง มีความบกพร่องต่างๆภายใน เช่น สิ่งเจือปนต่างๆ (impurity) หรือรูพรุน (porosity) ซึ่งจะมีทั้งรูพรุนบีด (close pore) และรูพรุนเปิด (open pore) ซึ่งเป็นความบกพร่องที่ไม่สามารถหลีกเลี่ยงได้ สามารถสังเกตได้จากการถ่ายโครงสร้างทางจุลทรรศน์สาร หรือ SEM ในหัวข้อ 4.3

5.2.2 การตรวจสอบสมบัติทางกายภาพของวัสดุผสม PZT-PC

ในการเตรียมวัสดุผสมแบบ 0-3 ปริมาณและการกระจายตัวของเมทริกซ์เฟสในดิสเพรสเฟสจะส่งผลต่อสมบัติต่างๆของวัสดุผสม ไม่เว้นแม้แต่ความหนาแน่น ดังนี้จึงทำการวัดความหนาแน่นของวัสดุผสม PZT-PC แสดงดังตาราง 5.2

ตาราง 5.2 ค่าความหนาแน่นของวัสดุผสม PZT-PC

สารตัวอย่าง	ความหนาแน่นที่วัดจริง (g/cm ³)
PC	2.71±0.11
30%PZT	4.20±0.45
40%PZT	4.47±0.47
50%PZT	5.12±0.09
60%PZT	5.59±0.18
70%PZT	6.06±0.08
0%PZT	6.21±0.27
90%PZT	7.14±0.54
PZT	7.81±0.01

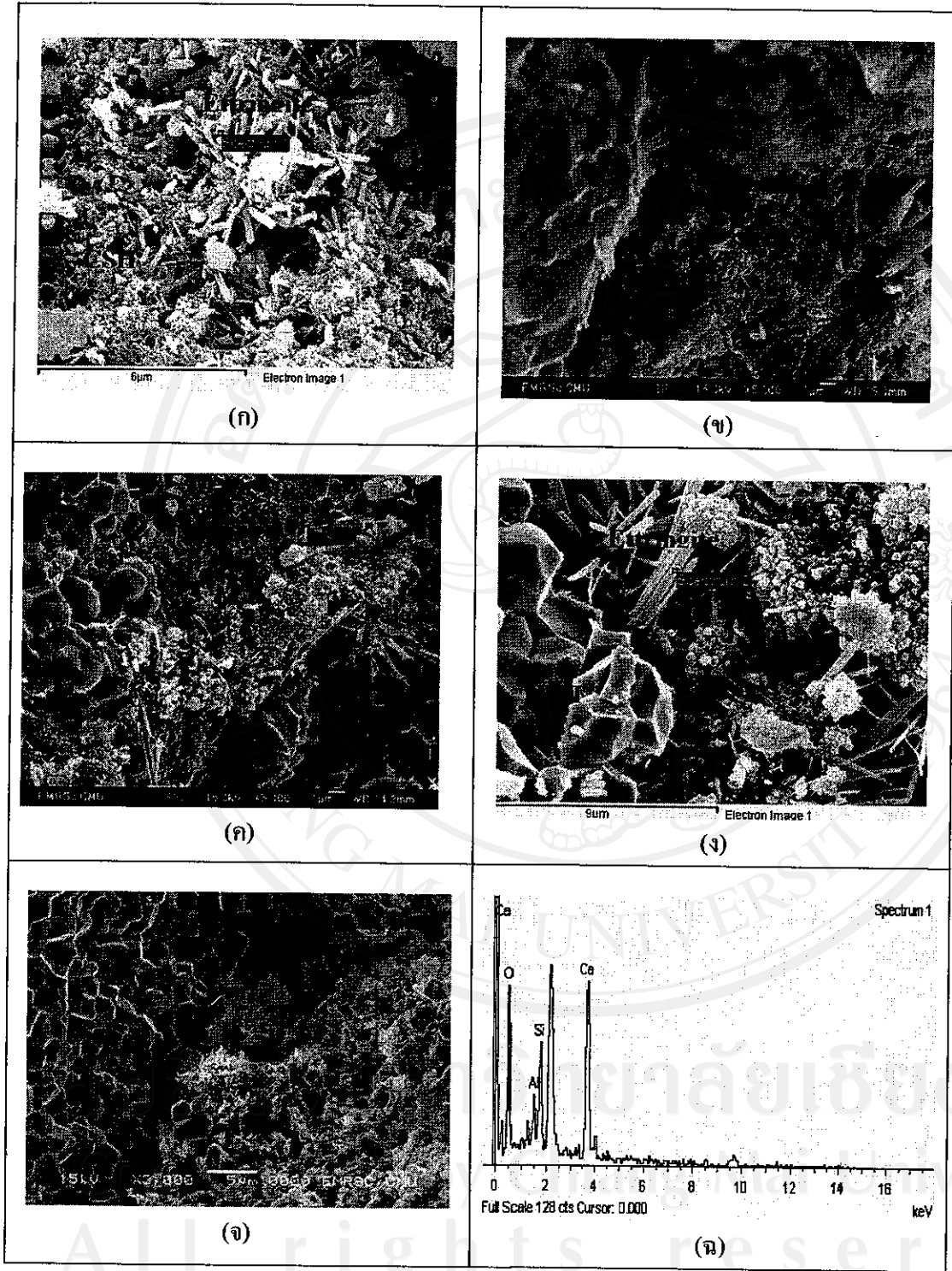
สำหรับการศึกษาความหนาแน่นของวัสดุผสมแบบ 0-3 ในอัตราส่วนต่างๆกันของ PZT ดิสเพรสเฟส ใน PC เมทริกซ์เฟสจะพบว่าค่าความหนาแน่นมีค่าเพิ่มขึ้นเมื่อปริมาณ PZT ในระบบเพิ่มขึ้น

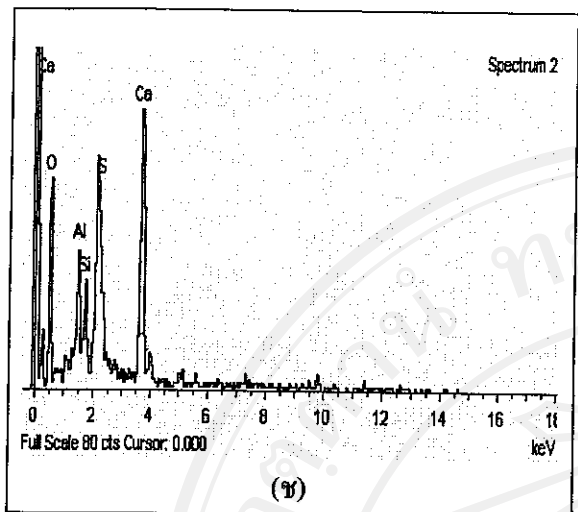
5.3 ผลการตรวจสอบโครงสร้างทางจุลภาคด้วยกล้องจุลทรรศน์เล็กตอนแบนแบบส่องกราด (SEM)

ของวัสดุผสมแบบ 0-3 ในระบบ PZT-PC

ในส่วนของการศึกษาโครงสร้างทางจุลภาคของวัสดุผสมแบบ 0-3 ในระบบ PZT-PC

แสดงดังรูป 5.5





รูป 5.5 การวิเคราะห์ด้วย EDS ของวัสดุคอมโพสิต PZT-PC โดยที่

- | | |
|-------------------------------------|---------------------------------|
| (ก) คือ PC | (ข) คือ 30%PZT |
| (ค) คือ 50%PZT | (ง) คือ 70%PZT |
| (จ) คือ 90%PZT | (ฉ) การวิเคราะห์ด้วย EDS ของ PC |
| (ช) การวิเคราะห์ด้วย EDS ของ 70%PZT | |

จากรูป 5.5 (ก) จะพบว่ามีการเกิดปฏิกิริยาไ乂เครชันของปูนซีเมนต์ปอร์ตแลนด์ชีน ซึ่งเป็นปฏิกิริยาที่เกิดขึ้นที่ผิวระหว่างของแข็งโดยตรง และเรียกปฏิกิริยาระบบทันนี้เรียกว่า “Solid State Reaction” จากปฏิกิริยาไ乂เครชันนี้จึงทำให้ได้ คลอเซียมซิลิเกตไ乂เครต (Calcium Silicate Hydrate, CSH) ที่มีลักษณะคล้ายเส้นใยเล็กๆพันกันไปมา ซึ่ง CSH เกิดจาก สารประกอบหลัก คลอเซียมซิลิเกตทำปฏิกิริยากับน้ำ นอกจากนี้ยังพบชั้นของเอทาราไนท์ (Ettringite) ที่มีลักษณะคล้ายแท่งเข็มเล็กๆซึ่งเกิดจากไตรคลอเซียมอลูมิเนตทำปฏิกิริยากับซิปชั้น ซึ่งเป็นสารประกอบหลัก เช่นกัน สำหรับการวิเคราะห์สารประกอบด้วยสเปกตรัม 1 ของ EDX ดังรูป 5.5 (ก)

จากรูป 5.5 (ข) และ(ค) เป็นโครงสร้างทางจุลภาคของวัสดุคอมโพสิต PZT-PC ที่มีปริมาณ PZT 30 และ 50 % โดยปริมาตรในระบบ ซึ่งจะเห็นเพลสของ PZT ถูกส้อมรอบด้วยเฟลสของปูน PC

และ จากรูป 5.5 (ง) ซึ่งเป็นโครงสร้างทางจุลภาคของวัสดุคอมโพสิต PZT-PC ที่มีปริมาณ PZT 70 % โดยปริมาตรในระบบ ซึ่งจะเห็นรอยต่อระหว่างเซรามิก PZT และปูน PC นอกจานนี้ในเฟลส

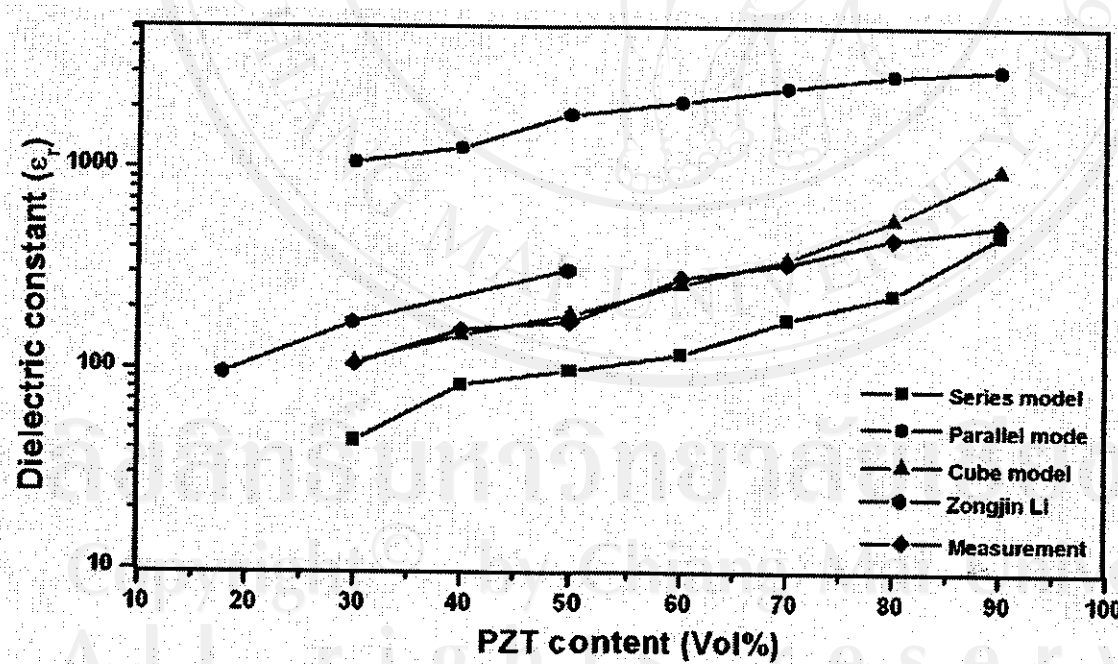
ของปุ่น PC ยังพบชิ้นของເອຫາໄນ໌ທີ່ມີລັກຄະເໜີນເອົ້ານີ້ທີ່ແຕກຕ້ວແຍກອອກມາ ຜຶ່ງສັງເກດໄດ້ຈາກ
ກາຣົວຄະຫຼາກສາຮປະກອບດ້ວຍສະເປຸດຮົມ 2 ຂອງ EDX ດັ່ງຮູບ 5.5 (ຊ)

ແລະຈາກຮູບ 5.5 (ຊ) ຈຶ່ງມີປົກມາ PZT 90 % ໂດຍປົກມາຕຽນໃນຮະບນຂອງວັສຸດຸພສມ PZT-PC
ຈະພະເພີ່ມຂອງ PZT ຂັ້ນເຈັນເຊື່ອ

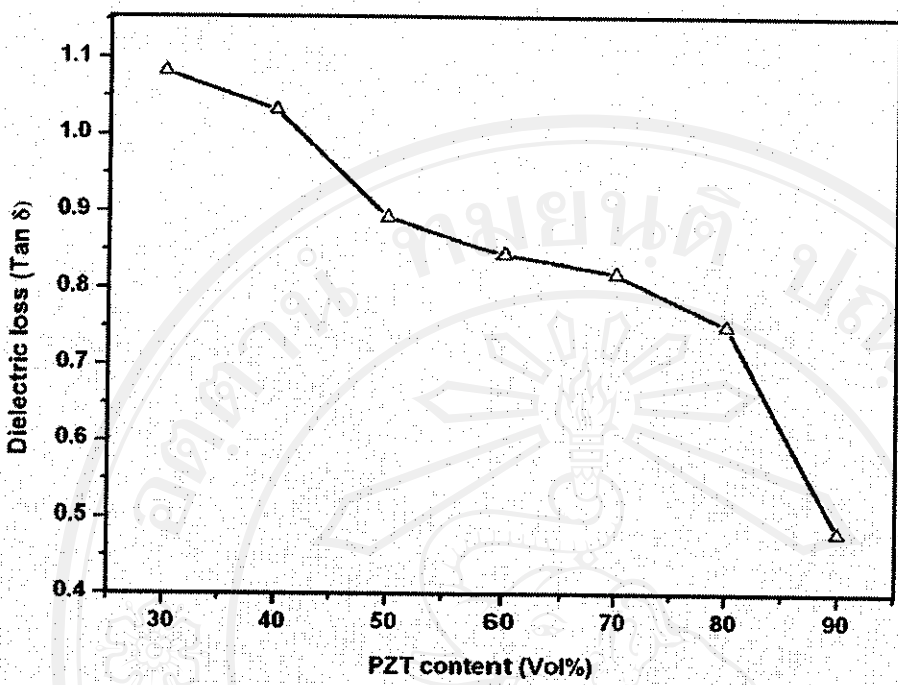
5.4 ພິເຕກະການກົດກຳສົກສຸດຸພສມແບນ 0-3 ໃນຮະບນ PZT-PC

5.4.1 ກາຣົວຄະຫຼາກສາກພຍອມສັນພັກນີ້ແລະຄ່າຕ້ວປະກອບກາຣົວຄະຫຼາກສົກສຸດຸພສມແບນ 0-3 ໃນຮະບນ PZT-PC

ຈາກກາຣົວຄະຫຼາກສາກພຍອມສັນພັກນີ້ທີ່ອຸພາກຸມທົ່ວງແລະຄວາມດີ 1 ກິໂລເໜີຕົວຂອງວັສຸດຸ
ພສມແບນ 0-3 ໃນຮະບນ PZT-PC ທີ່ປົກມາເຊົ່າມີ PZT 0, 30, 40, 50, 60, 70, 80, 90 ແລະ 100 %
ໂດຍປົກມາຕຽນ ແລະ ຄ່າຕ້ວປະກອບກາຣົວຄະຫຼາກສົກສຸດຸພສມແບນ 0-3 ໃນຮະບນ PZT-PC
ຕາມລຳດັບ



ຮູບ 5.6 ຄ່າສັກພຍອມສັນພັກນີ້ຕ່ອປົກມາ PZT ຂອງວັສຸດຸພສມແບນ 0-3 ໃນຮະບນ PZT-PC



รูป 5.7 ค่าตัวประกอบการสูญเสียทางไอดิเลกทริก ต่อปริมาณ PZT ของวัสดุสมบูรณ์ 0-3 ในระบบ PZT-PC จากการวัดจริง

จากการวิเคราะห์ค่าสภาพย้อมสัมพัทธ์ของวัสดุสมบูรณ์ PZT-PC ที่อุณหภูมิห้องและความถี่ 1 กิโลเฮتز พบร่วมค่าสูงขึ้นเมื่อมีปริมาณเซรามิก PZT ในระบบเพิ่มขึ้น [10,11,15] แต่จะมีค่าอยู่ระหว่างค่า สภาพย้อมสัมพัทธ์ของเซรามิก PZT ซึ่งมีค่าประมาณ 1000 และบุน PC จะมีค่าสภาพย้อมสัมพัทธ์ประมาณ 98 ซึ่งค่าสภาพย้อมสัมพัทธ์ของวัสดุสมบูรณ์ จะเป็นผลรวมของค่าสภาพย้อมสัมพัทธ์ในแต่ละเฟสรวมกันเรียกว่า “sum property” [14]

และจากการทดลองของก่อนหน้านี้ Banno H. และคณะ [21] ได้นำเสนอกราฟทางทฤษฎีออกมายใน 3 รูปแบบ คือ แบบ Parallel model, Cube model และ Series model ซึ่งผลการทดลองที่ได้ในงานวิจัยนี้จากกราฟรูป 5.6 จะเห็นว่าสอดคล้องกับกราฟแบบ Series model และ Cube model ซึ่งตรงกับผลการทดลองของ Zongjin Li และคณะ [9, 11]

เมื่อพิจารณาผลของขนาดของอนุภาคเซรามิก PZT ที่กระจายตัวอยู่ในบุน PC พบร่วมค่าสภาพย้อมสัมพัทธ์จะมีค่าสูงขึ้นเมื่อมีขนาดอนุภาค PZT ใหญ่ขึ้นซึ่งตรงกับผลการทดลองของ Zongjin Li [9] และ A.Chaipanich [16] ซึ่งในการทดลองนี้ได้เลือกใช้ขนาดอนุภาค PZT คือ

≈ 600 ไมโครอน เป็นไปได้ว่าขนาดอนุภาคที่ใหญ่ขึ้นทำให้พื้นที่ผิวลดลงส่งผลทำให้มีโอกาสในการเข้ามายื่นต่อกันของอนุภาคเซรามิก PZT ในปูน PC สูงขึ้นและในกรณีที่เมื่อมีปริมาณเซรามิก ในวัสดุผสมสูงส่งผลทำให้ค่าสภาพยอมสัมพัทธ์สูงตามไปด้วยนั้น Bernd Ploss และคณะ[22] ได้แสดงแนวคิดว่าการใช้สัดส่วนปริมาณเซรามิกโดยปริมาตร (volume fraction) ที่สูงนั้นก็เหมือน กับมีตัวเก็บประจุมาเข้ามายื่นต่อกันมากขึ้นกว่าการใช้สัดส่วนโดยปริมาตรของเซรามิกน้อยๆ จึงทำให้ค่าความซุกที่ได้เพิ่มมากขึ้นซึ่งส่งผลทำให้ค่าสภาพยอมสัมพัทธ์มีค่าสูงขึ้นตามไปด้วย แสดงว่ามีการกระจายตัวที่ดีของเซรามิก PZT ในปูน PC

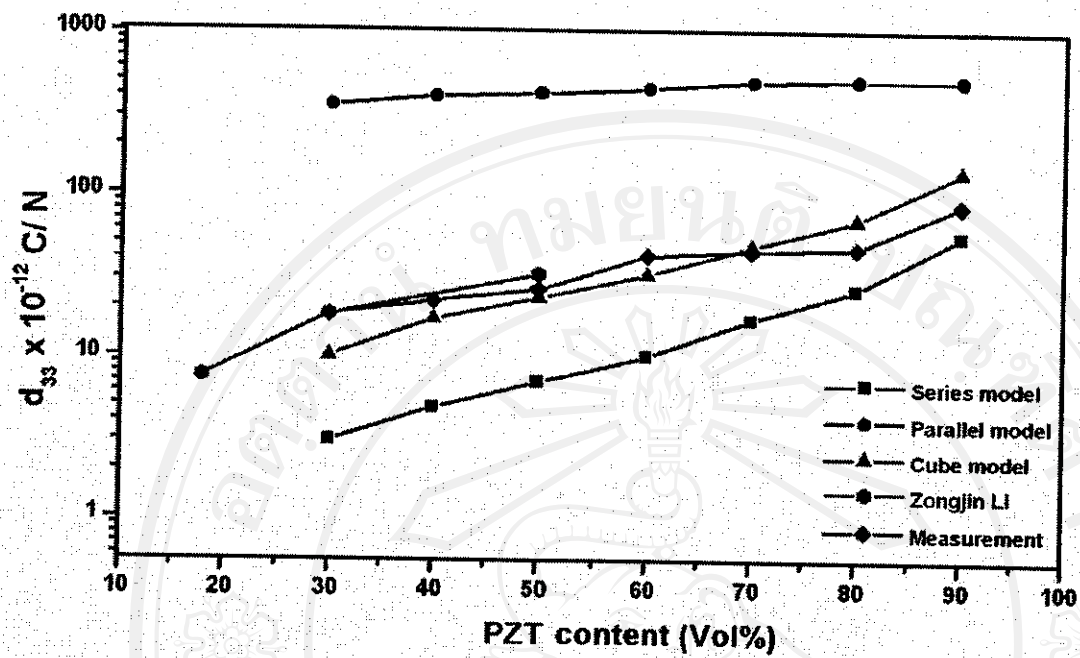
และเมื่อพิจารณารูป 5.7 ซึ่งแสดงค่าตัวประกอนการสูญเสียทาง ไดอิเลกทริก ($\tan \delta$) พบร่วมกับค่าคัดลอกเมื่อปริมาณเซรามิก PZT เพิ่มขึ้น หรือ ในทางกลับกันคือจะมีค่าสูงที่ปริมาณปูน PC สูงขึ้นนั่นเอง อาจเป็นไปได้ว่าในโครงสร้างของปูนมีน้ำปูนอยู่ซึ่งปูนเป็นสารที่มีรูพรุนสูงดังนั้นความชื้นจากบรรยากาศสามารถถูกดูดซึมนเข้าไปในโครงสร้างของปูนได้อย่างต่อเนื่อง ซึ่งน้ำจัดได้ว่าเป็นไฟฟ้าตัวนำ (ion conductor) ที่ปูนอยู่ในไฟฟ้าของปูนซึ่งมันต้นจะเป็นสาเหตุที่ส่งผลทำให้ค่าตัวประกอนการสูญเสียทาง ไดอิเลกทริกมีค่าเพิ่มขึ้น

5.4.2 การวิเคราะห์ค่าสัมประสิทธิ์พิโซอิเลกทริกของวัสดุผสมแบบ 0-3 ในระบบ

PZT- PC

จากการวิเคราะห์ค่าสัมประสิทธิ์พิโซอิเลกทริก ของวัสดุผสมแบบ 0-3 ในระบบ PZT-PC ที่ปริมาณเซรามิก PZT 0, 30 ,40 ,50 ,60 ,70 ,80 ,90 และ 100 % โดยปริมาตร หลังจากผ่านกระบวนการโพลที่อุณหภูมิ 130°C ด้วยสนามไฟฟ้า 2 กิโลโวลต์ต่อ 1 มิลลิเมตร เป็นเวลา 45 นาที แสดงดังกราฟรูป 5.8

ลิขสิทธิ์มหาวิทยาลัยเชียงใหม่
Copyright[©] by Chiang Mai University
All rights reserved



รูป 5.8 ค่าสัมประสิทธิ์พิโซอิเลกทริกต่อปริมาณ PZT ของวัสดุผสมแบบ 0-3 ในระบบ PZT-PC

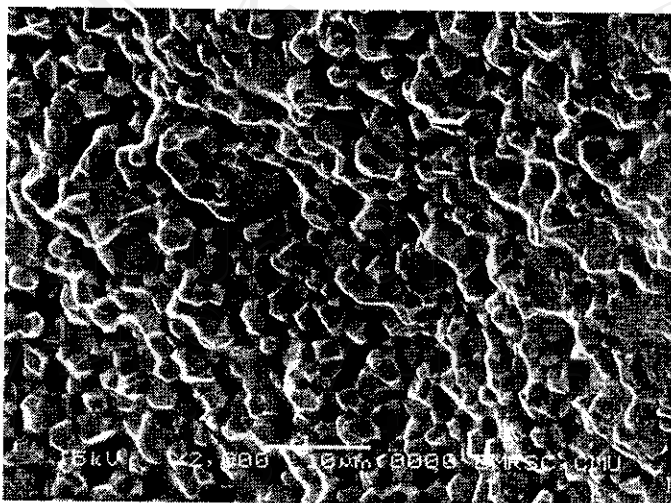
ผลการศึกษาค่าสัมประสิทธิ์พิโซอิเลกทริก ของวัสดุผสมแบบ 0-3 พบว่า ค่าที่ได้มีค่าสูงขึ้นตามปริมาณ PZT ที่เพิ่มขึ้นซึ่งตรงกับผลการทดลองของ Zongjin Li และคณะ [9, 11] ซึ่งผลการทดลองที่ได้จากการวิจัยนี้จะเห็นว่าสอดคล้องกับกราฟแบบ Cube model ของ Zongjin Li และคณะเช่นกัน

ซึ่งตรงกับกลุ่มของ Shifeng Huang และคณะ [10] ที่ได้มีการทำการทดลองโดยมีการใช้ปริมาณ เซรามิก PZT สูงถึง 85% โดยนำหัวนัก ในการผสมเป็นวัสดุผสม และผลการทดลองค่าที่ได้มีค่าสูงขึ้นตามปริมาณ PZT (กราฟ 3.7 (a)) เช่นกัน

ในแต่ละงานวิจัยที่ผ่านมาล้วนมีผลสอดคล้องกันที่สนับสนุนผลการทดลองที่ว่าค่าสัมประสิทธิ์พิโซอิเลกทริก ของวัสดุผสมแบบ 0-3 ในระบบ PZT-PC พบว่า ค่าที่ได้มีค่าสูงขึ้นตามปริมาณ PZT ที่เพิ่มขึ้นและมีค่ามากกว่าวัสดุผสมแบบ 0-3 ในระบบ PZT-Polymer [11] ซึ่งอาจมีหลายเหตุปัจจัยสนับสนุนผลการทดลองที่ได้ ขนาดอนุภาค ก็มีส่วนสำคัญในการเพิ่มค่าสัมประสิทธิ์พิโซอิเลกทริกจากการทดลองพบว่าเซรามิก PZT ที่มีอนุภาคขนาดใหญ่จะมีพื้นที่ผิวทดลองทำให้มีการเขื่อมต่อ กันสูงในอัตราส่วนที่มีปริมาณ PZT สูงๆ ก่อให้เกิดเส้นทางเดินของกระแสไฟฟ้า (electric flux path) ระหว่างอนุภาคเซรามิก ในระหว่างการทดสอบให้มีค่า

สัมประสิทธิ์พิโซอิเลกทริกสูงขึ้นและก็อาจเป็นไปได้ที่วัสดุผสมเกิดการผสมกันระหว่างการผสมแบบ 0-3 และ 1-3 ในอัตราส่วนของระบบที่มีปริมาณ PZT สูงๆเนื่องจากการผสมแบบ 1-3 จะมีสัมประสิทธิ์พิโซอิเลกทริกสูงกว่าการผสมแบบ 0-3 ซึ่ง N.Jayasundere และคณะ[18] ได้ทำการศึกษารูปแบบของการผสมระหว่างแบบ 0-3 และ 1-3 เพื่อคำนวณหาค่าสัมประสิทธิ์พิโซอิเลกทริกเมื่อขนาดของอนุภาคมีขนาดใกล้เคียงกับความหนาของชั้นงานและมีสัดส่วนโดยปริมาตรสูงๆอยู่ระหว่าง 50-70% ค่าที่ได้จะมีค่าใกล้เคียงกับผลการทดลองที่ได้ ดังนั้นในงานวิจัยนี้จึงได้เลือกใช้ขนาดอนุภาคเซรามิก PZT ที่มีขนาด≈600 ไมครอนและทำการเตรียมชั้นงานที่มีความหนาไม่น้อยกว่า 0.6 มิลลิเมตร เพื่อหลีกเลี่ยงผลของการเกิดวัสดุผสมแบบ 1-3

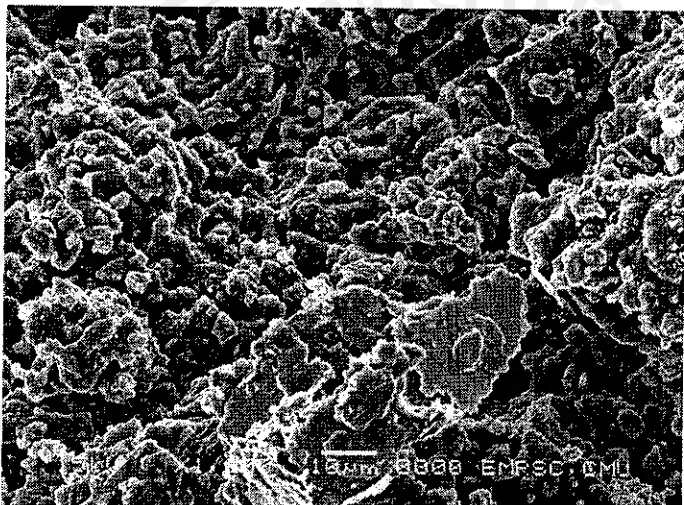
นอกจากนี้ อุณหภูมิ เวลา และ สารนามไฟฟ้าที่ใช้ในการโพลลั่วนแล้วแต่ส่งผลต่อค่าสัมประสิทธิ์พิโซอิเลกทริกทั้งสิ้น ในงานวิจัยนี้เลือกใช้อุณหภูมินในการโพลที่ 130°C ซึ่ง Shifeng Huang และคณะ[10] ได้ทำการทดลองผลของอุณหภูมิเวลาและ สารนามไฟฟ้าต่อค่าสัมประสิทธิ์พิโซอิเลกทริกพบว่าที่อุณหภูมิ 130°C ให้ค่าสัมประสิทธิ์พิโซอิเลกทริกที่สูงที่สุด (กราฟ 3.15) ซึ่งเวลาที่ใช้ในการโพล คือที่ 45 นาที ค่าสัมประสิทธิ์พิโซอิเลกทริกจะมีค่าคงที่ ส่วนสารนามไฟฟ้าที่ใช้ Shifeng Huang และคณะ[10] พบว่าที่สารนามไฟฟ้า 4 กิโลโวัตต์ต่อมิลลิเมตรค่าสัมประสิทธิ์พิโซอิเลกทริกที่ได้มีค่าสูงที่สุด ซึ่งในงานวิจัยนี้จึงได้เลือกเวลาในการโพลที่ 45 นาที เนื่องจากถ้าใช้เวลาในการโพลนานเกินไปจะทำให้ปุ่ม PC เกิดการหลอนคล้ายเจลเคลือบเซรามิก PZT ไว้ ส่งผลทำให้ค่าสัมประสิทธิ์พิโซอิเลกทริกลดลง ยืนยันได้ด้วยการวิเคราะห์โครงสร้างของวัสดุผสมด้วยกล้อง SEM ดังรูป 5.9



รูป 5.9 รูปการหลอมภายในโครงสร้างของวัสดุผสมเนื่องจากใช้เวลาในการโพล มากกว่า 45 นาที

และสนามไฟฟ้าที่ใช้pollในงานวิจัยนี้ คือ 2 กิโลโวลต์ต่อมิลลิเมตรเนื่องจากpollยังใช้สนามไฟฟ้าในการpollสูงยิ่ง pollยากและเป็นการเสี่ยงในการเกิดการพังถลายของสนามไฟฟ้า (breakdown) ซึ่งดักขยะโครงสร้างของวัสดุผสมที่เกิดการพังถลายของสนามไฟฟ้า แสดงดังรูป

5.10



รูป 5.10 รูปโครงสร้างภายในของวัสดุผสมที่เกิดการการพังถลายของสนามไฟฟ้า

ค่าสัมประสิทธิ์พิโซอิเล็กทริกที่ได้จากการ pollด้วยสนามไฟฟ้า 2 กิโลโวลต์ต่อมิลลิเมตร มีค่าสูงเช่นกัน สามารถอธิบายได้ว่า ferroelectric domain สามารถกลับทิศทางได้ง่ายในช่วงแรกของการให้สนามไฟฟ้าเข้าไปซึ่ง ferroelectric domain ส่วนใหญ่จะกลับตัวในทิศ 180° ซึ่งจะไม่ก่อให้เกิดความเดันเกิดขึ้นและใช้เวลาอ่อนโยนในการกลับตัว อย่างไรก็ตามในเฟสอื่นๆจะมีการกลับตัวของ ferroelectric domain ในทิศ 90° ซึ่งมีความลำบากญูเข่นกันซึ่งอาจก่อให้เกิดความเดันและความเครียดเกิดขึ้นภายในโครงสร้าง ทำให้ ferroelectric domain กลับตัวได้ยากในทิศ 90° ซึ่งต้องใช้เวลาอ่อนโยนในการกลับตัวซึ่งต้องอาศัยเวลาในการ pollที่นานขึ้น จนเกิดการอ่อนตัวในการกลับทิศของ ferroelectric domain [10] ดังนั้นอาจกล่าวได้ว่าสนามไฟฟ้าที่ให้น่าจะมีอิทธิพลมากกว่าในการกลับตัวของ ferroelectric domain ส่วนเวลาในการ pollน่าจะมีอิทธิพลรองลงมา และอุณหภูมน่าจะมีอิทธิพลน้อยที่สุดในการกลับตัวของ ferroelectric domain

ซึ่งสนามไฟฟ้าที่ให้ในการ pollจะมีเพียงส่วนน้อย (small fraction) เท่านั้นที่ผ่านไปยังอนุภาคเซรามิก PZT ที่ถูกกล้อมรอบไปด้วยปูน PC เพื่อทำให้เกิด pollได้เร็วขึ้นไปในทิศทาง

เดียวกับกับสนามไฟฟ้าโดยสนามไฟฟ้าที่กระทำกับอนุภาคเซรามิก PZT มีความสัมพันธ์กับ ค่า สภาพยอมสัมพัทธ์ดังสมการ[25]

$$E_c = \frac{3E_0\epsilon_p}{3\epsilon_p + \epsilon_c} \quad (5.2)$$

เมื่อ E_0 คือ สนามไฟฟ้าที่ให้

E_c	คือ	สนามไฟฟ้าที่กระทำกับอนุภาคเซรามิก
ϵ_p	คือ	ค่าสภาพยอมสัมพัทธ์ของปูน PC
ϵ_c	คือ	ค่าสภาพยอมสัมพัทธ์ของเซรามิก

จากสมการ 5.2 จะเห็นว่ามีสนามไฟฟ้าเพียงเล็กน้อยเท่านั้นที่กระทำกับอนุภาคเซรามิก PZT เนื่องจากเซรามิก PZT มีค่าสภาพยอมสัมพัทธ์สูงกว่าปูน PC มาก และในโครงสร้างของปูน ยังมีเฟลตัวนำ(conductor) ซึ่งก็คือ น้ำ ปนอยู่ ระหว่างอนุภาคของเซรามิก PZT และปูน PC ซึ่ง ทำให้เกิดเส้นทางเดินของสนามไฟฟ้า (electric flux path) ไปยังอนุภาคของเซรามิก PZT ซึ่ง สามารถอธิบายด้วยแนวคิด “Polychromatic percolation” [Newnham] คือ ในวัสดุผสมที่ ประกอบด้วยเฟลตัวนำตั้งแต่ 2 เฟลขึ้นไป จะมีทางเดินของกระแส(transport path) ได้หลายทาง ทั้งผ่านทางเฟลเดียวและผ่านทั้งสองเฟลร่วมกันขึ้นอยู่กับ percolation limit และสัดส่วนโดย ปริมาตร (Volume fraction) ซึ่งในงานวิจัยนี้ได้มีเฟลตัวนำซึ่งก็คือน้ำปนเข้าไปอยู่ในวัสดุผสมอยู่ แล้ว ดังนั้น Polychromatic percolation น่าจะก่อให้เกิดความต่อเนื่องของฟลักซ์ (flux continuity) ผ่านเกรนของเซรามิก PZT แล้วทำให้สามารถโพลได้ง่าย แต่ ในการเป็นจริงยังทำ ให้โพลได้ยากไปกว่าเดิมเมื่อจากปูน PC มีความพรุนสูงส่งผลทำให้น้ำที่อยู่ในรูพรุนมีลักษณะ เย็นเจาและเป็นแบบ capillary ทำให้ค่าสภาพนำไฟฟ้า (electrical conductivity) ของวัสดุผสม มีค่าเพิ่มขึ้นเมื่อสภาพด้านทาน(resistivity)มีค่าลดลง แต่เห็นที่กระเสาะให้ผ่านเซรามิก PZT กลับให้ผ่านรูพรุนที่มีน้ำอยู่ก่อให้เกิดการร้าวไอลของกระแส Shifeng Huang และคณะ[13] ซึ่ง ทำให้เสียงต่อการเกิดการพังทลายของสนามไฟฟ้า(breakdown)ของวัสดุผสมสูงมากจึงต้องใช้ เวลานานในการโพล คือ ค่อยๆให้สนามไฟฟ้าเข้าไป ซึ่งจากปัญหาดังกล่าวจึงส่งผลทำให้เกิดปัญหา ใน การโพลโดยใช้สนามไฟฟ้าสูงๆตามมา

5.4.3 การวิเคราะห์ค่าสัมประสิทธิ์คุ้มไฟฟ้าเชิงกล ของวัสดุผสมแบบ 0-3 ในระบบ PZT-PC

ผลการวิเคราะห์ค่าสัมประสิทธิ์คุ้มไฟฟ้าเชิงกล ของวัสดุผสมแบบ 0-3 ในระบบ PZT-PC ที่ปริมาณเซรามิก PZT 30, 50, 70 และ 90 % โดยปริมาตร หลังจากผ่านกระบวนการการโพลที่ อุณหภูมิ 130°C ด้วยสนามไฟฟ้า 2 กิโลโวลต์ต่อ 1 มิลลิเมตร เป็นเวลา 45 นาที แสดงดังตาราง 5.3

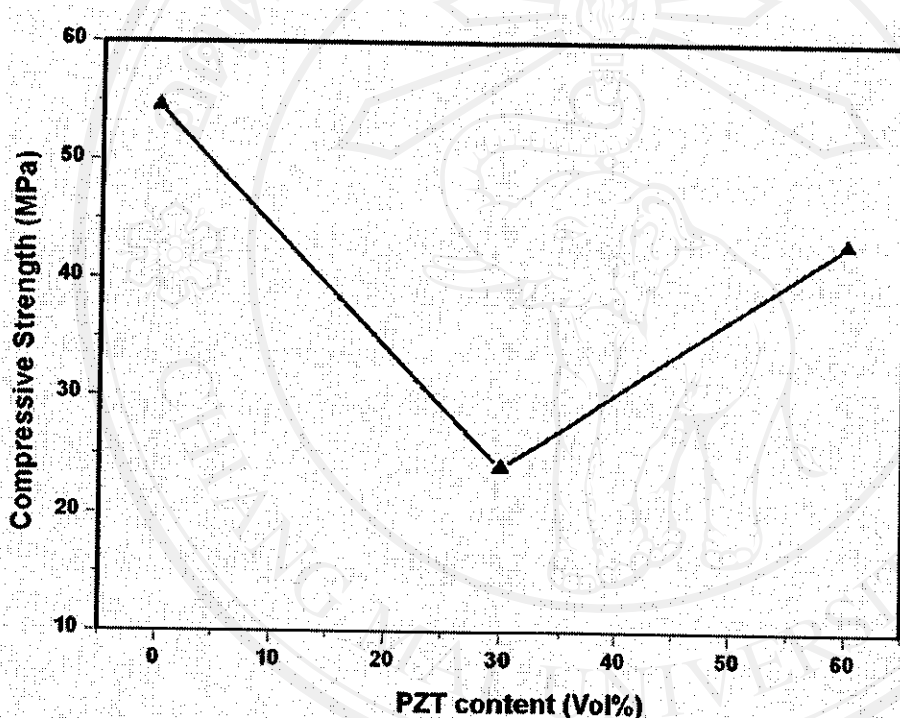
ตาราง 5.3 ค่าสัมประสิทธิ์คุ้มไฟฟ้าเชิงกล ของวัสดุผสมแบบ 0-3 ในระบบ PZT-PC

สารตัวอย่าง	อัตราส่วน PZT-PC	ค่าสัมประสิทธิ์คุ้มไฟฟ้า เชิงกล , K_t (%)
30%PZT	30:70	16.25
50%PZT	50:50	18.24
70%PZT	70:30	23.74
90%PZT	90:10	28.17

จากการทดลองข้างต้นจะพบว่าค่าสัมประสิทธิ์คุ้มไฟฟ้าเชิงกลมีค่าเพิ่มขึ้นตามปริมาณ PZT ที่เพิ่มขึ้นในระบบของวัสดุผสม PZT-PC ซึ่งตรงกับผลการทดลองของ Zongjin Li และคณะ[9](ตาราง 3.1) ซึ่ง Zongjin Li และคณะได้ทำการศึกษาปริมาณ PZT ในระบบของวัสดุผสม PZT-PC สูงเพียง 70% โดยปริมาตรและพบว่าที่ปริมาณ PZT 70% โดยปริมาตร ค่าสัมประสิทธิ์คุ้มไฟฟ้าเชิงกลจะมีค่าสูงกว่า 20% ซึ่งตรงกับผลการทดลองที่ได้ในงานวิจัยนี้ คือ ที่ปริมาณ PZT 90% โดยปริมาตรค่าสัมประสิทธิ์คุ้มไฟฟ้าเชิงกลจะมีค่าสูงถึง 28.17 % ซึ่งจะมีค่าสูงกว่าวัสดุผสมที่เป็นพอลิเมอร์ในปริมาณ PZT ร้อยละ โดยปริมาตรที่เท่ากัน[9] แสดงว่าวัสดุผสม PZT-PC มีสมบัติในการเปลี่ยนพลังงานไฟฟ้าไปเป็นพลังงานกลและเปลี่ยนพลังงานกลไปเป็นพลังงานไฟฟ้าที่ดี

5.5 ผลการตรวจสอบสมบัติเชิงกล ของวัสดุผสมแบบ 0-3 ในระบบ PZT-PC

จากการเตรียมชิ้นงานโดยการอัดขึ้นรูป วัสดุผสมแบบ 0-3 ในระบบ PZT-PC ด้วยแรง 1 ตันในแบบทรงลูกบาศก์เพื่อให้มีขนาด $10 \times 10 \times 10$ มิลลิเมตร และหลังจากนำชิ้นงานไปผ่านกระบวนการการเกิดไออกเรซั่นของปูนซีเมนต์โดยการนำไปเผาในครื่องควบคุมอุณหภูมิแบบอ่างที่มีความชื้นเกือบ 100 เปอร์เซ็นต์เป็นเวลา 3 วัน เพื่อช่วยในการแข็งดัวของวัสดุผสมแล้ว จากนั้นจึงนำไปทดสอบกำลังอัดซึ่งผลการทดลองที่ได้แสดงผลดังรูป

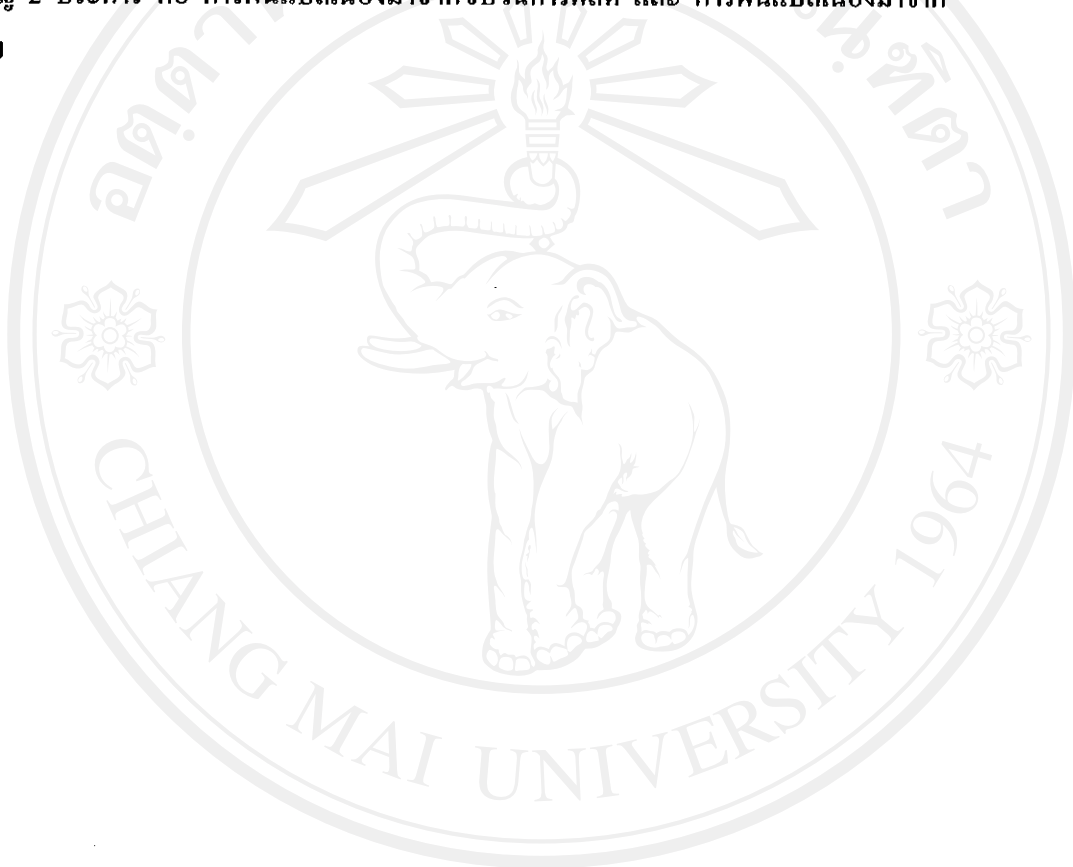


รูป 5.11 ค่ากำลังอัด ของวัสดุผสมแบบ 0-3 ในระบบ PZT-PC

จากราฟจะพบว่าผลการทดลองที่ได้แสดงค่ากำลังอัดใน 3 อัตราส่วนผสมของวัสดุผสมแบบ 0-3 ในระบบ PZT-PC เท่านี้ คือ 0%PZT, 30%PZT และ 60%PZT ซึ่งมีค่าเท่ากัน 54.55, 23.95 และ 42.95 MPa ตามลำดับ ซึ่งโดยปกติแล้วถือว่าเป็นค่าที่ใกล้เคียงกับค่ากำลังอัดของมอร์ต้าและคอนกรีตทั่วไป

จากผลการทดลองข้างต้นพบว่าค่ากำลังอัดมีค่าลดลงเมื่อปริมาณเซรามิก PZT ในวัสดุผสมที่ 30%PZT โดยปริมาตร และจะสูงขึ้นเมื่อปริมาณเซรามิก PZT ในวัสดุผสมเป็น 60%PZT โดย

ปริมาตร ซึ่งผลการทดลองที่ได้อาจจะมีความคลาดเคลื่อนอันเนื่องมาจากการยืดเหยียบและการเบี้งตัวของวัสดุผสม ซึ่งมีความเป็นไปได้ว่าอาจเกิด crack ภายในโครงสร้างขึ้นได้ เมื่อจากมีมวลที่ต่างกัน นอกจากนี้ยังมี อัตราส่วนผสม การผสม และการบ่ม ส่วนแล้วแต่มีผลต่อกำลังอัด ทั้งสิ้น ทั้งนี้ ข้าราชการ เศรษฐบุตร[7] ได้อธิบายความผันแปรของกำลังอัดว่า ขึ้นอยู่กับ การควบคุม วัตถุคิบ ขนาดการผลิต และขนาดการทดสอบ และสาเหตุของการผันแปรของกำลังอัดเนื่องมาจากการทดสอบ



ลิขสิทธิ์มหาวิทยาลัยเชียงใหม่
Copyright © by Chiang Mai University
All rights reserved